

エアロゾル粒子の荷電平衡とその粒度分布測定への応用

京大工研 高橋幹二, 同 工藤 章, 京大院工 児島 猛

エアロゾル粒子は、空気汚染物として重要な役割を果す。エアロゾル粒子の物性の一つに荷電特性があるが、ここでは、平衡荷電状態としての Boltzmann 分布の実証とその粒度分布測定への応用について述べる。

1 大気中のイオン

大気中では放射線の電離作用によってイオンが生成される。放射線には宇宙線の他に、空中放射性物質や地中放射性物質からの放射線があるが、その強さは地域的、時間的に、また地表からの高さによって変わる。平均的にみると、地表上約 1 m におけるイオン対の生成速度は、宇宙線、空中放射性物質、地中放射性物質にてそれぞれ、
2 : 4.5 : 3.5, 計 $10 \text{ ion pair/cm}^3 \cdot \text{sec}$ で、といわれる。生成されたイオン対は、再結合、粒子または他の物体への付着などによって消滅するが、ある時刻ではまだ平衡濃度を保ち、その値は

陸上 (ion/cm^3) 海上 (ion/cm^3)

正イオン $200 \sim 2000$ } $300 \sim 500$

負イオン $100 \sim 4000$

で、ある。また、汚染空気中では清浄空気中にくらべてイオン濃度は一般に大きい。

2. エアロゾル粒子の荷電と平衡分布

エアロゾル粒子と、正または負の單極イオンとが混在しているとき、外部から与えられた電場がないれば、イオンは拡散と熱運動によって粒子と衝突し電荷を失う。荷電量は、イオン濃度を一定とすれば、White¹⁾ によって次式で与えられ

てある。

$$g = pe = \frac{akT}{e} \ln \left(1 + \frac{\pi a \bar{n}_i e^2 t}{kT} \right) \quad (1)$$

これに対して、電場が与えられ、イオン電流が存在するときの荷電量は、同様に White によると

$$g = \left[1 + \frac{2(\epsilon - 1)}{\epsilon + 2} \right] E a^2 \left(\frac{1}{1 + 1/\pi \bar{n}_i e B i t} \right) \quad (2)$$

電場内では、実際にはこれら二つの荷電現象が存在するが、小さな粒子では (1) が、大きな粒子では (2) がりちじるしい。

さて、正負両極イオンが等量に存在し、エアロゾル粒子とイオンとが無数の衝突をくりかえしたときは、粒子の荷電はある平衡状態に到達する。この平衡荷電分布は Boltzmann 分布として知られており^{2,3)} が、その実証例は極めて少ない。正負両イオンの濃度が等しく、粒子数濃度にくらべてイオン数濃度が大きいときはこのようないい Boltzmann 分布がなりにつぶ、さらに、正負イオンの移動度が等しいときは、この分布はつきのようなる対称分布となる。

$$\frac{N_p}{N} = \frac{1}{\sum} \exp \left(- \frac{p^2 e^2}{2 a k T} \right) \quad (3)$$

ただし

$$\sum = \sum_{-\infty}^{\infty} \exp \left(- \frac{p^2 e^2}{2 a k T} \right) \quad (4)$$

$a > 10^{-5} \text{ cm}$ の大きさの粒子では

$$\sum \approx \sqrt{2 \pi a k T} / e \quad (5)$$

で近似される。また、無荷電粒子の割合は

$$\frac{N_{p=0}}{N} = \frac{1}{\sum} \approx \frac{e}{\sqrt{2\pi a k T}} \quad (6) \quad \eta_0 = 4\pi D a \quad (9a)$$

平均荷電数は、正または負の荷電粒子についてそれそれ

$$\eta_p = \eta_0 \cdot \gamma / (e^{\frac{q}{kT}} - 1) \quad (9b)$$

$$P_{av} = 2 \sum_{p=1}^{\infty} (p N_p) / N \approx \sqrt{\frac{2 a k T}{\pi e^2}} \quad (7) \quad \eta'_p = \eta_0 \cdot \gamma / (1 - e^{-\frac{q}{kT}}) \quad (9c)$$

このようなら Boltzmann 分布は、つきのようなら考察からも理論的に証明することができます。すなわち、粒子とイオンとの衝突結合は元素確率的なものであるから、粒子の荷電現象を一つの確率過程とみたばく、この過程はつきのようないわゆる Birth and Death Eq. で表わすことができる。

$$\frac{dN_0}{dt} = (-2\eta_0 N_0 + 2\eta'_p N'_p) n_i \quad (8a)$$

$p = 0$

$$\frac{dN_p}{dt} = [\eta_{p-1} N_{p-1} - (\eta_p + \eta'_p) N_p + \eta'_{p+1} N_{p+1}] n_i \quad (8b)$$

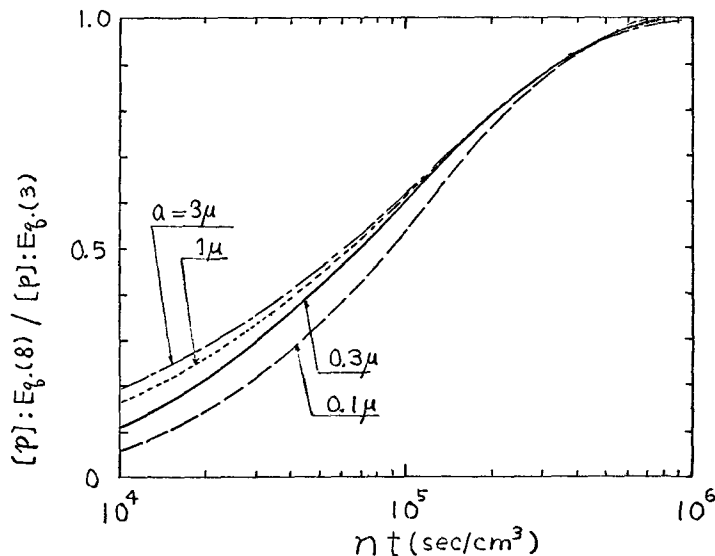
$p \geq 1$

ここで、 η_p , η'_p はそれぞれイオンと同符号または異符号荷電粒子との結合係数であり、次式で表わされる。

3. 荷電粒子の運動と電気運動度

電場における荷電粒子の運動速度は次式で与えられる。

$$V = B q E = B e E \quad (10)$$



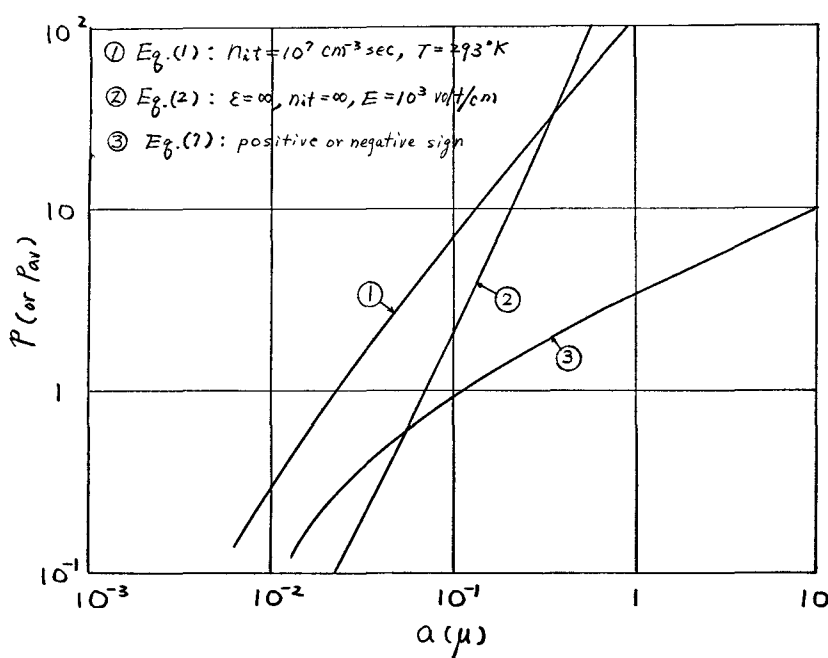
第1図 両極荷電の経時変化

たゞし

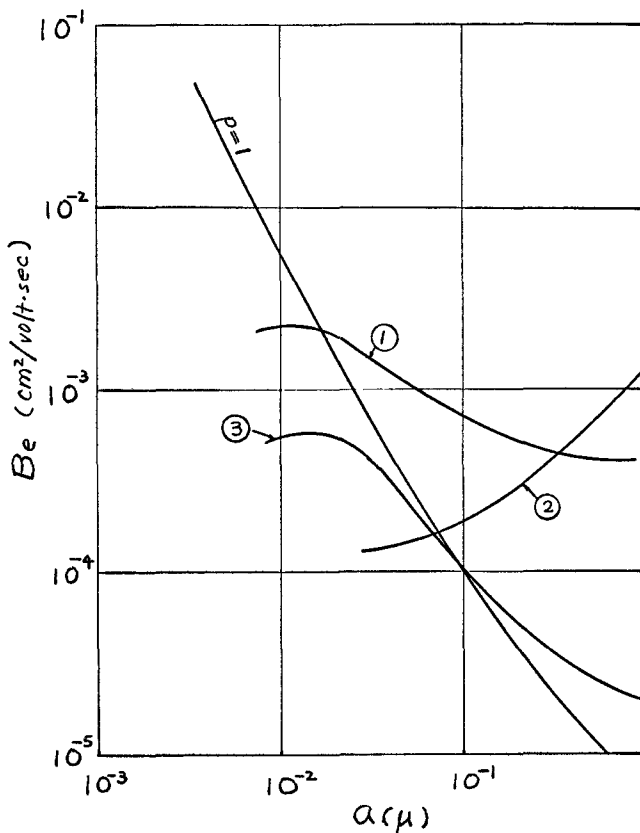
$$B_e = \frac{1}{6\pi\mu a} \frac{pe}{300} \left(1 + \frac{Ae}{a}\right) \quad (11)$$

第3図は、第2図で示した荷電量に対応する B_e の値である。その他 Boltzmann 分布の場合の荷電数や B_e の値の計算例は別の文献 4,5) を参照下さい。

多分散粒子では、(1), (2) で示すように粒径と荷電量との間に 1 対 1 の対応がある場合には、 B_e の値



第2図 粒子1コ当たりの荷電数



第3図 荷電粒子の電気移動度

の分布と粒度分布との間に1対1の対応がなりたつ。Boltzmann 分布のときは、このように粒径と荷電量との間に1対1の対応がなりが、その中でも、ある粒度分布に対応してBeの分布を数値的に求めることは可能である。

第4、5図は、粒度分布を対数正規分布としてときの計算例である。

同様に、第6、7図は、それでは Boltzmann 分布、対数正規分布としてときの平均荷電数、無荷電粒子の全粒子に対する割合を示す。

4. Boltzmann 分布の確認のための実験

実験室下平衡荷電粒子をつくり、その荷電分布が Boltzmann 分布に合致するかどうかを検討する。このためには、① Be 値の分布と粒子数との関係(第4図)、② Be 値と荷電量との関係(第5図)、③ 正および負の電荷量とその差異(第6図)、④ 無荷電粒子の割合(第7図)のうちのいくつかも測定可中は下。

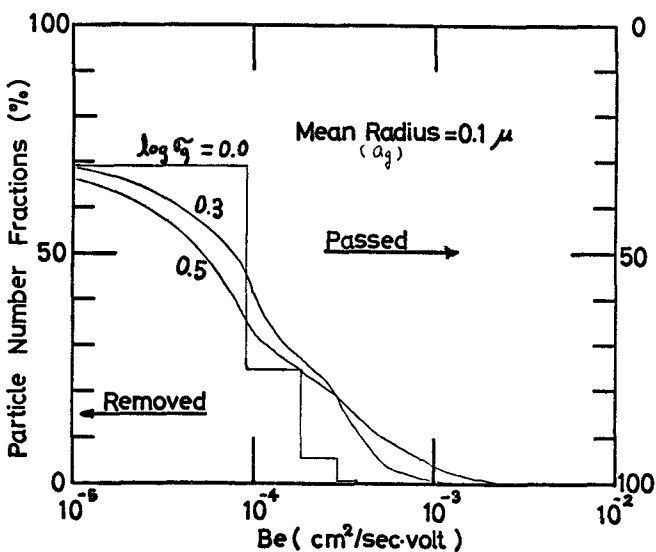


図4 等分散粒子のBe分布(その1)

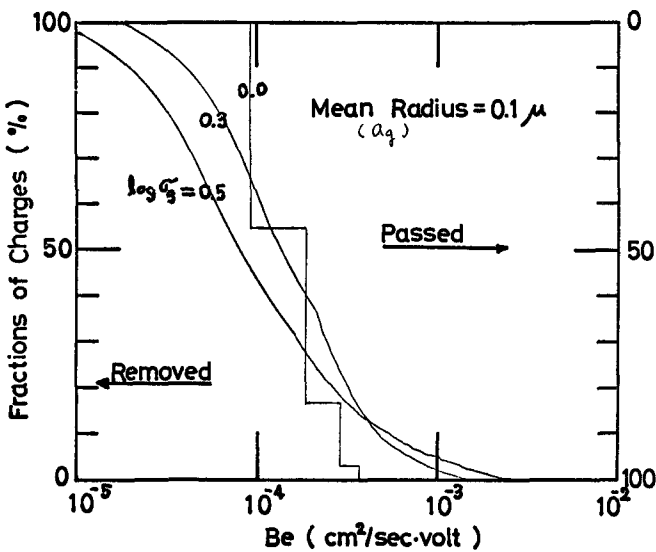


図5 等分散粒子のBe分布(その2)

実験装置は図8に示すとおりで、イオン源には²⁴¹Am (1 mc.) を用いた。イオン源槽と滞留槽とは、それを平衡荷電を達成させ、また、残留在する free ion を消滅させるに必要な滞留時間とそれを満たすためには十分な長さである。イオン生成速度は 10^{12} ion pair/sec であるから、これが等分散粒子の流入速度とから計算するとエアロゾ

ル中のイオノン濃度は 10^{11} ion pair/cm³ 前後となり、第1回からみると1オクタント槽の滞留時間は極めて短時間であることになる。また、free ion の消滅速度は、消滅がイオノンの再結合のみによるものとすれば $d n_i / dt = -\alpha n_i^2$ で計算され、 $n_i = 10^{10}$ cm⁻³ のとき、滞留時間を 500 sec とすれば、イオノン消滅濃度は 10^3 cm⁻³ で、これは十分無視しうることになる。

このようにして平衡荷電状態となるエアロゾル粒子を Mobility Analyzer に導き、印加電圧を表すながら、通過したエアロゾル粒子の粒子数濃度、または荷電量(電流)と、あるいは、極板に到達して荷電量(電流)を測る。印加電圧と限界荷電気易動度 (B_e') との関係は、理想的な平行極板型 Mobility Analyzer (間隔: H, 長さ: L, 寛度: V, 平均流速: D) では

$$B_e' = H^2 D / L V \quad (12)$$

で与えられる。こうして、 B_e' と通過した粒子の粒子数濃度との関係が求まる。その他、図8に示したよ

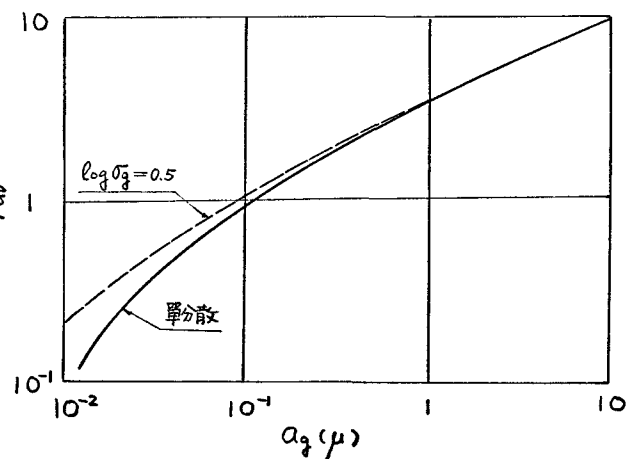
うに、必要に応じてエレクトロメーターを用いて荷電量を求めることができる。

図9は、鉛フュームを用いて B_e' と通過粒子数濃度との関係を示すものであるが、電子顕微鏡で求めた粒度分布について、Boltzmann 荷電分布として計算により求めた曲線と実測値との対比から、荷電分布は Boltzmann 分布とみなすことができる。その他、正負荷電量が等量であることを確認するには、正負両印加電圧につ

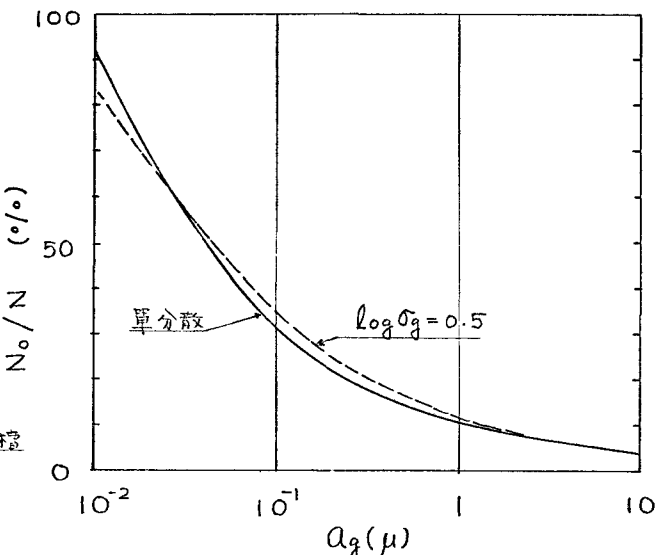
ての B_e' 分布曲線の一数を値をめるか、あるいは、粒子とフィルターで捕集し、粒子の荷電量が全体として 0° であることを知ればよく、いくつもの試料についてこのような確認を行なってみると、実験の精度には多くの問題がある。

5. 粒度分布測定への応用

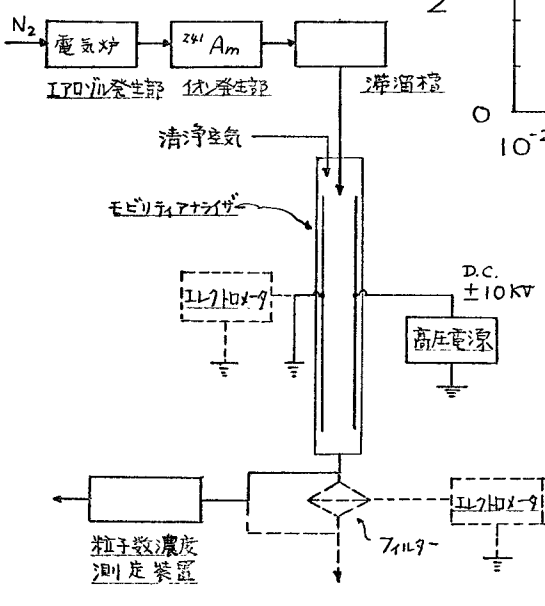
Boltzmann 分布のときの粒子当たりの荷電量は第 2 図に示すように、他の单極荷電のときより少なく、したがつて B_e の値も小なりので、 B_e の測定は容易でない。しかし、この荷電状態は他の場合よりもかなり安定なので、Boltzmann 分布を利用して粒度分布測定を行なうことができればその实用性はかなり大きい。また、多分散粒子の粒度分布測定を行なうためには、粒度分布関数があらかじめ知りなければならないところと、この方法の弱点



第 6 図 多分散粒子の平均荷電数



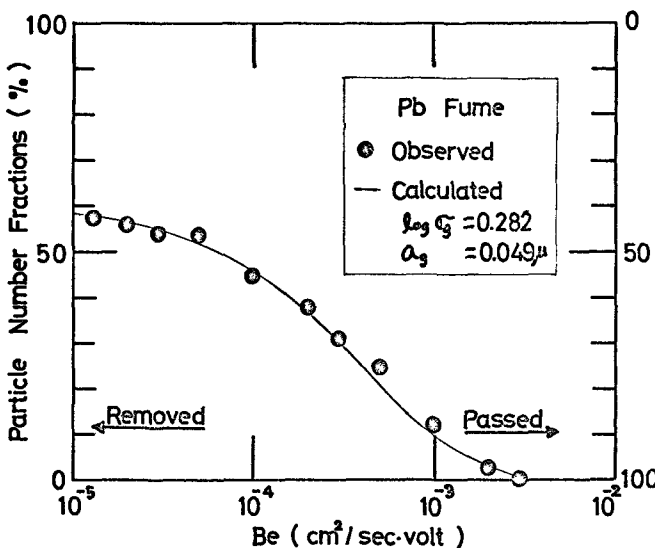
第 7 図 多分散粒子の場合の平均荷電粒子数



第 8 図 実験装置概略図

であるが、一般にこれを対数正規分布としてよることほ多く測定によって裏付けられる。

測定装置としては、第 8 図のように、イオン源、滞留槽、Mobility Analyzer、高圧直流電源、それに粒子数濃度測定装置、および(または)微小電流測定装置が必要である。微小電流の値は一般に 10^{-13} A 以下であるから測定には



第9図 Pb フュームの測定例

熟練を要する。

なお、測定法は前述のように、 B_e' と通過粒子数濃度とを測る方法の他に、平均径の概略値のみを知りたいときは、荷電粒子の割合を測定すれば、第7回からよきの値が求まる。

6. 結語

荷電粒子の性質を利用して粒度分布測定法は、室内実験のみならず大気中粒子の測定にも十分適用しうる可能性ともづき、装置の制約から測定可能な粒径範囲は、おむね $a < 0.2 \mu$ でいい。すべての大さの粒子を測定するには、他の方法を併用しなければならない。荷電測定法と光散乱測定法との組合せによる汎用的粒度分布測定装置の開発については別途研究中であり、本研究はこのうちさく基準的な部分に関するものである。

実験には、京大工研田町敏夫氏の協力をえたので付記して謝意を表す。

なお、本研究は文部省科学研究所（試験研究（高橋）、奨励研究（工藤））の援助による。

〔記号〕

A: Cunningham の補正項, a : 粒子半径, a_g : 細孔平均半径, B: 粒子の力学的易動度, B_e : 粒子の電気的易動度, C: イオンの平均熱運動速度, D: イオンの拡散係数, E: 電場の強さ, e: 單位電荷; k : Boltzmann 常数, l : 気分子の平均自由行程, N: 全粒子数濃度, N_p : 荷電数 p の粒子数濃度, M_i : 1 万分濃度, n : 荷電数, q : 荷電量, T: 温度, t: 時間, v : 粒子の運動速度, α : イオン対の再結合係数, ϵ : 粒子の誘電率, μ : 空気の粘性係数, σ_g : 細孔標準偏差

〔参考文献〕

- 1) White, H. J., AIEE Trans., 70, 1186 (1951)
- 2) Gunn, R., J. Meteor., 11, 339 (1954); J. Colloid Sci., 10, 107 (1955); J. Meteor., 12, 511 (1955)
- 3) Keefe, D., Nolan, P. J., and Rich, T. A., Proc. Roy. Irish Acad., 60-A, 27 (1959)
- 4) Metnieks, A. L., and Pollock, L. W., Geophys. Bulletin, No. 19, Dublin Inst. Adv. Studies (1961)
- 5) Kudo, A., and Takahashi, K., Tech. Rep. Eng. Res. Inst., Kyoto Univ., No. 147 (1969)